



全品 主编 肖德好 QUANPIN  
TESEZHUANXIANG  
特色专项

小题快练+大题冲关



## 第一部分 小题快练

---

小题快练 1 .....	专 01 / 答 65	小题快练 9 .....	专 25 / 答 70
小题快练 2 .....	专 04 / 答 65	小题快练 10 .....	专 28 / 答 71
小题快练 3 .....	专 07 / 答 66	小题快练 11 .....	专 31 / 答 71
小题快练 4 .....	专 10 / 答 67	小题快练 12 .....	专 34 / 答 72
小题快练 5 .....	专 13 / 答 67	小题快练 13 .....	专 37 / 答 73
小题快练 6 .....	专 16 / 答 68	小题快练 14 .....	专 40 / 答 73
小题快练 7 .....	专 19 / 答 69	小题快练 15 .....	专 43 / 答 74
小题快练 8 .....	专 22 / 答 69	小题快练 16 .....	专 46 / 答 75

## 第二部分 大题冲关

---

大题冲关 1 .....	专 49 / 答 75	大题冲关 9 .....	专 57 / 答 77
大题冲关 2 .....	专 50 / 答 76	大题冲关 10 .....	专 58 / 答 77
大题冲关 3 .....	专 51 / 答 76	大题冲关 11 .....	专 59 / 答 77
大题冲关 4 .....	专 52 / 答 76	大题冲关 12 .....	专 60 / 答 78
大题冲关 5 .....	专 53 / 答 76	大题冲关 13 .....	专 61 / 答 78
大题冲关 6 .....	专 54 / 答 76	大题冲关 14 .....	专 62 / 答 78
大题冲关 7 .....	专 55 / 答 76	大题冲关 15 .....	专 63 / 答 78
大题冲关 8 .....	专 56 / 答 77	大题冲关 16 .....	专 64 / 答 78

小题快练 1

时间:30分钟 分值:48分

班级

姓名

题号 答题区

1

2

3

4

5

6

7

8

9

10

11

12

13

14

15

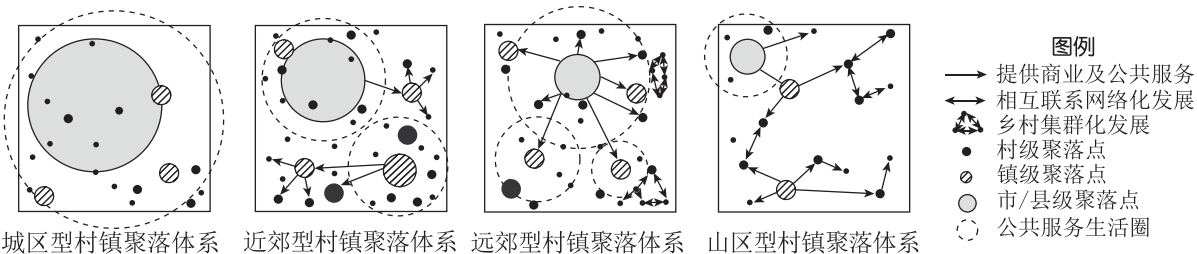
16

答题笔记

黑龙江省蔓越莓主产区位于三江平原的抚远市,抚远市原以大豆、玉米、水稻等作物种植为主,近年来该地“旱改水”种植蔓越莓的农户越来越多。蔓越莓为常绿灌木,果实中间有4个气腔,采收方法有“水收”(在田里注入少量的水,切割机驶入田地切断植物根茎后再注满水,静置一两天,用工具将蔓越莓收集到一起打捞)和“干收”(用带有金属齿的小型机械把藤上的浆果梳理掉再装袋)两种。据此完成1~2题。

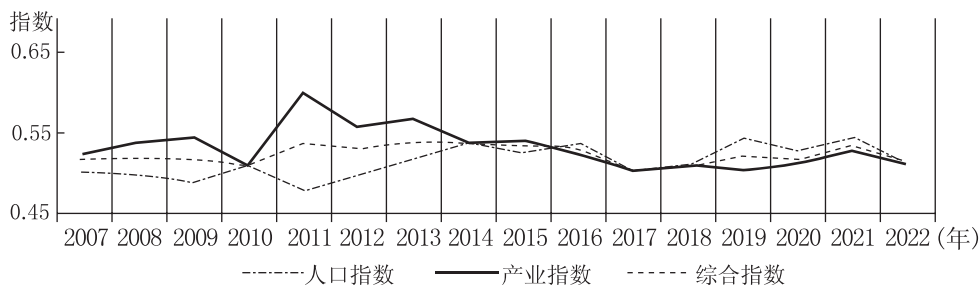
- 当地农民用蔓越莓取代大豆、玉米种植的根本目的是 ( )
  - 适应市场需求
  - 恢复土壤肥力
  - 提高经济效益
  - 节省劳动力
- 推测当地蔓越莓采摘主要选择的方法及其原因是 ( )
  - 水收,提高生产效率
  - 干收,减少对果实损伤
  - 水收,延长保质期
  - 干收,淘汰劣果

[2024·广东深圳部分学校联考] 广东省是改革开放以来中国城镇化和工业化发展最快的省级行政区之一。按照区位条件和空间关联,近30年广东省形成发展的不同行政单元村镇聚落体系可划分为四种类型,代表不同村镇聚落所处的发展阶段、城镇化水平等。下图示意四种村镇聚落体系类型及其发展优化重组模式。据此完成3~4题。



- 城区型村镇聚落体系中村镇斑块规模小、数量少,其主要原因是 ( )
  - 地形阻隔发展
  - 耕地分布零散
  - 乡村融为城市
  - 村镇人口外迁
- 近郊型村镇聚落体系中,建立县级聚落和镇级聚落共同驱动的发展模式,主要目的有 ( )
  - 减少县城对村镇资源的过度吸引
  - 促进县城与村镇产业同质化发展
  - 促使县镇相互联系网络化发展
  - 满足村镇人口对公共服务的需求
  - ①②
  - ①④
  - ②③
  - ③④

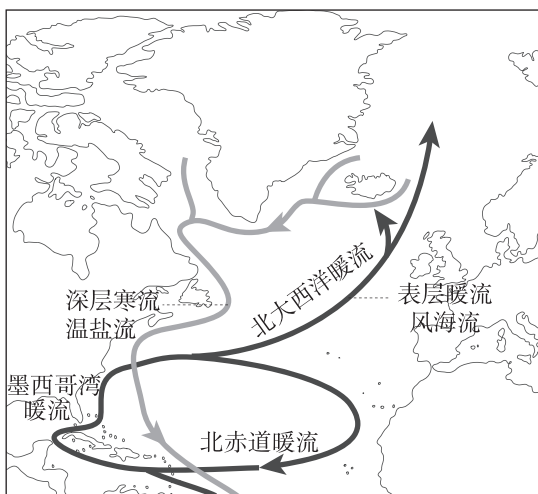
[2024·河北雄安新区三模] 人口结构与产业结构的协调发展是实现区域高质量发展的重要支撑。人口指数表示人口城镇化率、年龄结构、教育结构有利于产业结构发展的优势程度,产业指数表示三大产业的产值结构和就业结构有利于人口结构合理发展的优势程度。下图为黄河流域2007—2022年人口指数、产业指数与综合指数变化图。据此完成5~6题。



5. 黄河流域人口指数与产业指数的变化特点,正确的是 ( )
- A. 人口指数波动下降  
B. 产业指数波动上升  
C. 人口指数与产业指数的协调度逐步提升  
D. 人口和产业发展关系呈现由“人口滞后”向“产业滞后”发展的趋势

6. 从黄河流域人口指数空间演化格局来看,目前呈现中游>上游>下游的格局,推测下游地区人口指数落后的原因是 ( )
- A. 城镇化水平下降  
B. 人口受教育水平下降  
C. 人口总抚养比上升  
D. 青壮年人口迁出增多

经向翻转环流是一个大尺度的海洋环流,由温度及盐度的差异所致。在北大西洋,经向翻转环流的表面海水向北流动,在高纬度海区的固定下沉区下沉,深海冷水向南流动。据测定,3000米深度的海水年龄在北大西洋中部达到了250年。下图示意北大西洋经向翻转环流。据此完成7~8题。



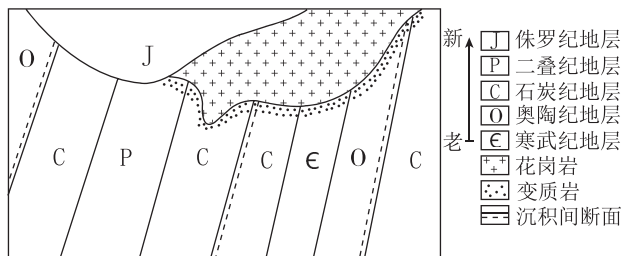
7. 在高纬度海区的固定下沉区,海水结冰会造成未结冰的海水 ( )
- A. 盐度升高,密度升高,下沉加剧  
B. 盐度降低,密度升高,下沉加剧  
C. 盐度降低,密度升高,下沉减弱  
D. 盐度升高,密度降低,下沉减弱
8. 与表层暖流相比,深层寒流 ( )
- A. 体量小,流速快  
B. 体量小,流速慢  
C. 体量大,流速快  
D. 体量大,流速慢

[2024·江西萍乡二模] 碳储量通常是指一定面积的植被、土壤和死有机物碳储量总和,它是反映生态系统碳存储能力的重要指标之一。碳储量包括地上生物量碳库、地下生物量碳库、土壤碳库和死有机物碳库。下表示意洞庭湖流域不同土地利用类型碳库(单位:吨/公顷)。据此完成9~10题。

土地利用类型	地上生物量碳库	地下生物量碳库	土壤碳库	死有机物碳库
耕地	1.80	0.35	80.96	0
林地	41.46	8.68	130.00	1.16
草地	0.55	0.14	63.42	0.06
水域	0	0	0	0
未利用土地	0	0	30.47	0
湿地	3.57	13.89	131.61	0.95
建设用地	0	0	44.15	0

9. 洞庭湖流域单位面积生态系统产生的碳储量主要来源于 ( )  
 A. 耕地和湿地      B. 水域和建设用地      C. 林地和湿地      D. 草地和未利用土地
10. 近年来,洞庭湖流域生态系统大部分碳损失的主要原因是 ( )  
 A. 湖泊调节作用减弱      B. 经济发展速度加快  
 C. 气候暖干化趋势加剧      D. 上游入湖水量增大

[2024·山东青岛二模] 某地区位于华北板块中部,出露地层为寒武纪—奥陶纪石灰岩,石炭纪—二叠纪砂岩、粉砂岩和页岩,侏罗纪各类喷出岩。下图示意该地区不同地质时期形成的地层在地表出露情况。据此完成 11~12 题。



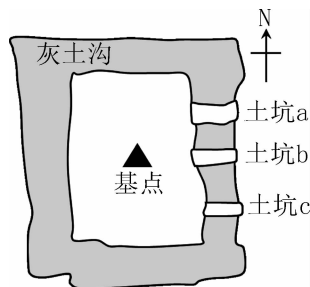
11. 从奥陶纪到石炭纪,该地区经历的地质过程是 ( )  
 A. 下降沉积—抬升侵蚀—下降沉积      B. 抬升侵蚀—下降沉积—水平挤压  
 C. 下降沉积—水平挤压—抬升侵蚀      D. 抬升侵蚀—下降沉积—抬升侵蚀
12. 图中花岗岩 ( )  
 ①切穿了背斜核部    ②切穿了向斜核部    ③晚于侏罗纪形成    ④晚于二叠纪形成  
 A. ①③      B. ①④      C. ②③      D. ②④

[2024·广东东莞三模] 2023 年 10 月 4 日,西藏措美哲古风电场在西藏措美县的哲古镇(28°34'N,91°37'E)成功并网发电,共有 25 台风电机组分布在海拔 5000~5200 米的山脊线上(见下图)。据此完成 13~14 题。



13. 风电机组分布在海拔 5000~5200 米的山脊线上的主要原因是 ( )  
 A. 形成亮丽的风景线      B. 风速相对较大  
 C. 减少风力侵蚀的影响      D. 减少山洪的破坏
14. 该风电场与当地的光伏发电相叠加的主要目的是 ( )  
 A. 增加峰值发电量      B. 降低峰值发电量  
 C. 发电互补,稳供电      D. 降低谷值发电量

[2024·广东佛山模拟] 2019 年浙江良渚遗址入选世界文化遗产,良渚遗址是 5000 多年前杰出的早期城市文明代表,由古城核心区、水利系统等组成。考古人员在此发现了多条坝体构成的庞大水利系统,并在汇观山山顶遗址基点竖起标杆,测量日影变化,证实了该遗址具备观天象功能。右图示意汇观山遗址。完成 15~16 题。

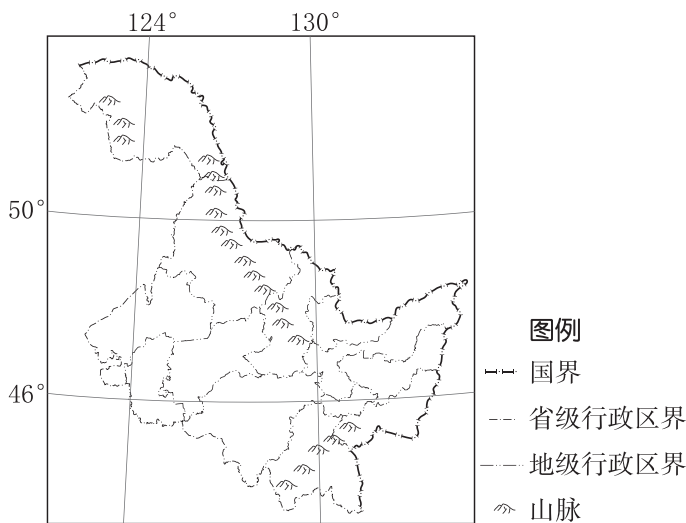


15. 良渚遗址庞大水利系统的发现,主要得益于 ( )  
 A. 遥感识别      B. 水文调查      C. 星象观测      D. 卫星定位
16. 考古人员在基点观察到标杆日影指向土坑 c,此时正值 ( )  
 A. 春分日日出      B. 夏至日日落      C. 秋分日日落      D. 冬至日日出

[2024·海南琼海模拟] 近年来,部分中国车企“产品出海”步伐加快,2021年中国汽车出口突破200万辆,成为世界第三大汽车出口国。在“产品出海”的同时,这些企业开始尝试在发达国家直接投资建设组装厂并将部分生产环节布局在消费国,实现“产业出海”。据此完成1~2题。

- 近年来,部分中国车企“产品出海”的成功主要依赖 ( )
  - 研发能力的提升
  - 产品价格的下调
  - 运输成本的下降
  - 出口政策的变化
- 和“产品出海”相比,部分中国车企面向发达国家“产业出海”的意义重在 ( )
  - 降低生产成本,扩大融资
  - 提升产能,提高产品质量
  - 加强国际合作,增加收益
  - 树立品牌,增强国际影响

[2024·广东广州番禺模拟] 黑龙江省整体人口城镇化水平较高,部分资源型城市就业压力较大。2000—2010年黑龙江省人口重心位于(127.61°E,46.53°N),2010—2020年黑龙江省人口重心位于(127.57°E,46.43°N)。下图示意黑龙江省行政区划和主要山脉分布。据此完成3~4题。

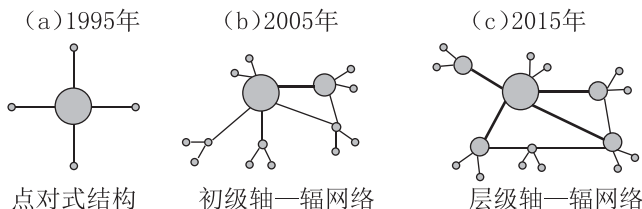


- 2000—2020年黑龙江省人口重心位置的移动朝向是 ( )
  - 东北
  - 西北
  - 东南
  - 西南
- 推测对黑龙江省人口重心位置移动影响较大的因素主要有 ( )
 

①宜居条件 ②土地资源 ③工业结构的变化 ④农业结构的变化

  - ①②
  - ①③
  - ②④
  - ③④

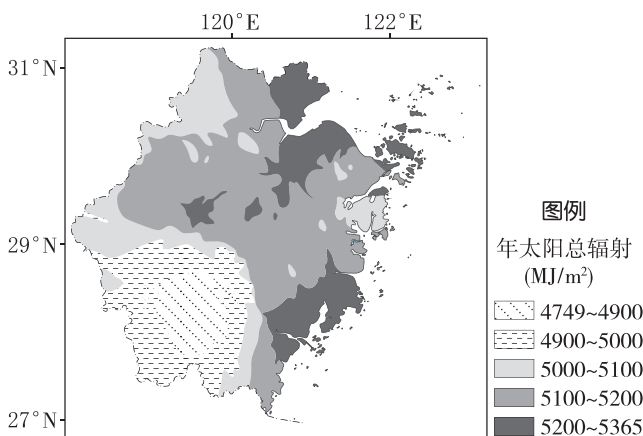
[2024·广东东莞三模] 伴随着我国新型城镇化的不断推进,区域发展的竞争已经由个体城市的竞争演化为区域内多个群体综合实力的竞争。下图示意以武汉主城区为轴心、部分地级城市主城区为二级轴心、其他城镇为辐点的武汉城市圈轴—辐网络结构1995—2015年的动态变化过程。据此完成5~6题。



- 1995—2015年间武汉城市圈拓展的方向主要是 ( )
  - 向四周呈同心圆状发展
  - 向东、南方向发展
  - 向东南、西北方向发展
  - 向东、西方向发展

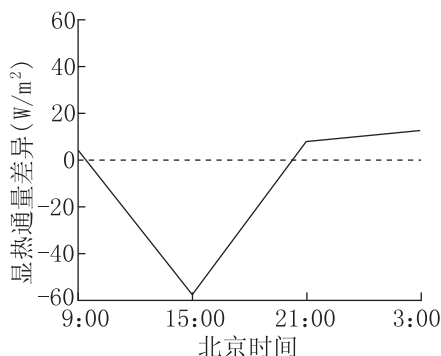
6. 影响二级轴心不断发展壮大的因素是 ( )
- A. 流动效率的提高
  - B. 距中心城市的远近
  - C. 辐点城镇的数量
  - D. 流动成本的提高

[2024·河北保定一模] 我国目前的光伏电站主要采用固定式方阵,即为了最大限度地接收太阳辐射,将光伏板以某个固定的倾角(光伏板与水平面夹角,与太阳高度角和日照时数相关)进行安装。倾角设计是影响光伏电站经济效益的关键因素之一。下图示意浙江省光伏最佳倾斜面所获年太阳总辐射空间分布。据此完成7~8题。



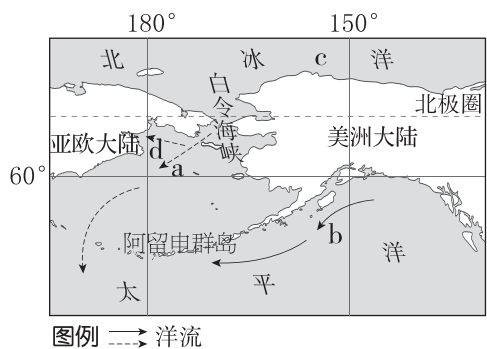
7. 影响浙江省最佳倾斜面所获年太阳总辐射空间分布的主要因素是 ( )
- A. 纬度位置
  - B. 海陆位置
  - C. 地形状况
  - D. 天气状况
8. 浙江省光伏板最佳倾角设计为 ( )
- A. 3°~8°
  - B. 20°~25°
  - C. 30°~35°
  - D. 50°~55°

[2024·湖南长沙一中适应性考试] 显热通量指由于温度变化而引起的大气与下垫面之间发生的湍流形式的热交换。为研究青海湖对湖区气候的影响,研究人员选取青海湖附近的陆地上空作为试验区,与青海湖区上空显热通量进行对比分析,得出夏季某日青海湖区与试验区的显热通量差异(见右图)。据此完成9~10题。



9. 图中显热通量差异的形成原因是 ( )
- A. 地面辐射差异
  - B. 热传导差异
  - C. 太阳辐射差异
  - D. 大气逆辐射差异
10. 近年,青海湖湖面持续扩大。受显热通量变化的影响,青海湖区会 ( )
- ①昼夜温差减小
  - ②夜晚降水减少
  - ③陆风势力减弱
  - ④扬沙天气减少
- A. ①②
  - B. ①④
  - C. ③④
  - D. ②③

[2024·江西师大附中三模] 地球表面海平面存在高度差异,受大气环流、洋流、海水盐度、海水密度等多方面影响。全球变暖导致极地海冰大量消融,尤其是对北极海冰的影响显著,可能对海—气相互作用产生重要影响。一般来说,升温越明显、海域越开阔,海—气相互作用越明显。右图为白令海峡及其附近区域图。据此完成11~12题。

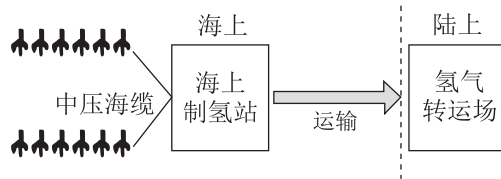


11. 白令海峡的海水常年向南流,某季节主导流向会短暂向北,该季节是 ( )
- A. 春季
  - B. 夏季
  - C. 秋季
  - D. 冬季

12. 随着全球气候变暖,图中海—气相互作用最强的区域为 ( )

- A. a                      B. b                      C. c                      D. d

[2024·安徽滁州模拟] 风电耦合海水制氢是实现由化石能源向绿色清洁能源转变的理想途径。近年来,我国和欧美国家都在尝试在沿海地区推进“海上风电—海水制氢”项目开发。下面为远海风电制氢项目模式图和制氢技术相关信息表。据此完成 13~14 题。



传统制氢技术路线	海水先淡化,形成高纯度淡水,再电解制氢
创新制氢技术路线	海水无淡化,原位直接电解制氢
氢气储运技术路线	氢气与二氧化碳结合生成方便储运的液态绿色甲醇,是具有发展潜力的氢能储运手段

13. 风电耦合海水制氢有利于 ( )

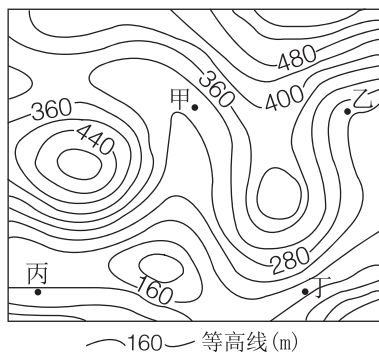
- ①降低风力发电过程成本    ②降低海上风电并网消纳难度    ③减小风力发电生态破坏  
④降低远海电力送到陆地成本

- A. ①②                      B. ②③  
C. ③④                      D. ②④

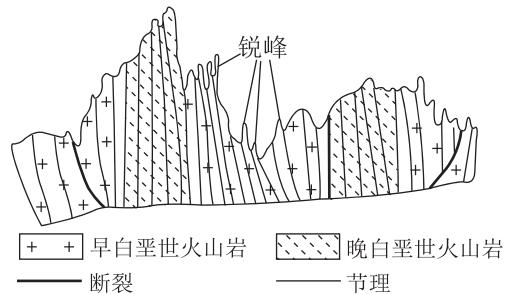
14. 与气态高压储运氢能相比,液态绿色甲醇方式储运氢能的环境意义是 ( )

- A. 碳减排,促进碳中和                      B. 提高运输的安全性  
C. 减少污染物                                  D. 降低储运氢能成本

[2024·福建福州质检] 浙江省 Y 山火山地貌广泛发育,其中锐峰是岩性坚硬、四面陡峭的火山岩柱。某研学小组前往 Y 山局部地区(图 a)考察,并绘制了所见地貌景观的地质剖面图(图 b)。据此完成 15~16 题。



a



b

15. 该研学小组绘制地貌景观的地质剖面图的地点最有可能位于 ( )

- A. 甲地附近                      B. 乙地附近  
C. 丙地附近                      D. 丁地附近

16. 根据地质剖面图,可推知该地锐峰的形成经历的主要地质作用有 ( )

- A. 流水沉积→固结成岩→地壳抬升→岩浆活动  
B. 岩浆活动→地壳抬升→流水侵蚀→重力崩塌  
C. 岩浆活动→地壳抬升→风力侵蚀→重力崩塌  
D. 岩浆活动→固结成岩→地壳下沉→流水侵蚀



### 小题快练 3

时间:30分钟 分值:48分

班级

姓名

题号 答题区

1

2

3

4

5

6

7

8

9

10

11

12

13

14

15

16

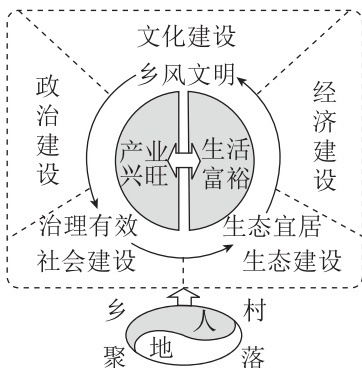
答题笔记

[2024·江西南昌二模] 粮食安全指数是指一个国家或地区在一定时间内粮食安全状况的综合得分,该得分基于多个指标,包括粮食自给率、储备率、人均粮食占有量等。下表显示2018年东南亚部分国家的粮食安全指数全球排名。据此完成1~2题。

国家	新加坡	菲律宾	缅甸	柬埔寨
全球排名	1	70	82	85

- 新加坡的粮食安全指数被评为全球第一,关键在于该国粮食 ( )
  - 自给率高
  - 海关税高
  - 购买力强
  - 消费量大
- 菲律宾、缅甸、柬埔寨的粮食安全指数较低的主要原因是 ( )
  - 农业综合生产能力低
  - 人均消费水平逐渐提高
  - 全球粮食供应链受阻
  - 国家致力发展高新产业

[2024·江苏宿迁三模] 改革开放以来,伴随着工业化和城镇化进程的快速发展,我国乡村出现了衰退问题。在此背景下,我国提出乡村振兴战略。乡村振兴是一项系统工程,既需要合适的外部环境,又离不开内部人才、环境与产业的支撑。下图为乡村振兴目标的人地关系内涵图。据此完成3~4题。



- 改革开放以来,我国乡村出现衰退问题的主要原因是 ( )
  - 农民大量进城
  - 缺乏产业支撑
  - 耕地迅速减少
  - 生态遭到破坏
- 拓展乡村新产业、新业态的关键措施是 ( )
  - 调整农业结构
  - 土地大量流转
  - 吸引优秀人才
  - 改善基础设施

[2024·广东惠州模拟] 大气边界层位于对流层中下部,是地球表面与大气之间水热交换的重要空间。地面受热之后,通过热量传导、促进对流等形式加厚大气边界层。在河西走廊某气象站的观测表明,该地大气边界层在5月达到最厚,大气边界层增厚导致容纳浮尘的空间增大,沙尘多发,而浮尘的增加又会导致大气边界层厚度减小,从而实现自我调节。完成5~6题。

- 与6—7月相比,该地5月大气边界层更厚,主要是因为 ( )
  - 正午太阳高度较小
  - 平均气温更低
  - 土壤较为干燥
  - 平均风速较小
- 浮尘的增多导致大气边界层厚度减小,主要是因为 ( )
  - 太阳辐射削弱
  - 地面辐射增强
  - 大气辐射增强
  - 地表反射减弱

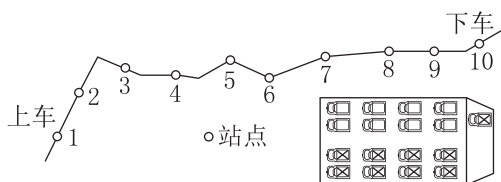
[2024·山东济宁一中模拟] 古洮河曾经自西向东流经岷县,后因岷县东部地区相对高度发生显著改变,河流断流,在岷县地区形成堰塞湖。研究表明,木寨岭至岷县河段也曾为古河道,该地曾发生过水系重组,形成现在的洮河水系(见下图)。如今洮河上、下游分别流经青藏高原和陇西黄土高原,上游比下游河道平缓。据此完成7~8题。



11. 喇叭状河谷越向上游越宽,主要是因为上游 ( )
- A. 岩层剥蚀速度慢 B. 流水下切能力强  
C. 地表汇水面积大 D. 水体停留时间长

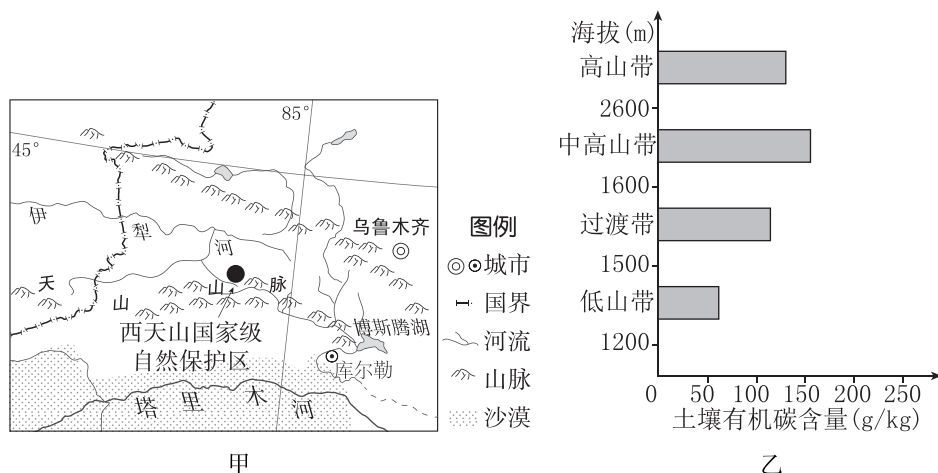
12. 在快速崩塌的背景下,喇叭状河谷能维持形态主要是因为 ( )
- A. 风力侵蚀 B. 物理风化  
C. 流水搬运 D. 重力搬运

[2024·福建漳州三模] 贵阳(26°N,106°E)的小明常选择公交车出行。某日乘公交车时,上车后发现车上乘客为了避免阳光直接照射,均选择坐在公交车右侧的位置。1小时后,小明于第10个站点下车。下图示意该公交车行驶的部分线路及车上乘客分布图。据此完成13~14题。



13. 小明此次乘车时间最可能为北京时间 ( )
- A. 6:00—7:00 B. 9:00—10:00  
C. 16:00—17:00 D. 20:00—21:00
14. 1小时后,小明下车看到公交车的影子朝向车头 ( )
- A. 左前方 B. 右前方 C. 左后方 D. 右后方

[2024·山东日照二模] 西天山国家级自然保护区位于伊犁河谷南部山地,年均降水量800~1000毫米,年均温5~7°C,山地垂直带谱完整,中高海拔区广泛分布着雪岭云杉。土壤有机碳是通过微生物作用所形成的腐殖质、动植物残体和微生物体的合称。下图示意西天山国家级自然保护区位置及该地区不同海拔高度土壤有机碳含量。据此完成15~16题。

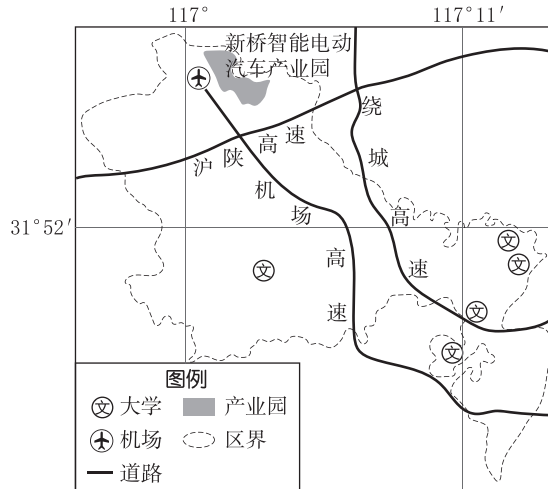


15. 西天山国家级自然保护区从海拔1200米至2600米的植被类型依次是 ( )
- A. 落叶阔叶林、针阔混交林、针叶林、高山草甸  
B. 常绿阔叶林、针叶林、亚高山矮林、高山草甸  
C. 荒漠草原、针叶林、亚高山矮林、积雪冰川带  
D. 荒漠草原、针阔混交林、针叶林、积雪冰川带
16. 该地区中高山带、高山带土壤有机碳含量较高的主要原因是 ( )
- A. 微生物活动弱,有机质积累多  
B. 微生物作用强,分解有机质多  
C. 土壤水热条件较好,生物量大  
D. 降水多,碳元素的淋溶作用强

## 大题冲关 1

(12分)[2024·广东湛江适应性考试] 阅读图文材料,完成下列要求。

2024年全国两会备受关注的热词“新质生产力”是指用新技术改造提升传统产业,积极促进产业高端化、智能化、绿色化。安徽省合肥市在汽车产业方面正加快发展“新质生产力”。合肥市汽车产业起步于1968年,形成了一批汽车自主品牌。早在2002年,合肥市逐步向新能源汽车转型。2009年,合肥市入选全国首批新能源汽车推广应用城市。2021年,合肥市与W汽车公司规划建设蜀山区新桥智能电动汽车产业园,园区集研发、制造、示范应用、产业配套服务于一体,打造具备完整产业链的世界级智能电动汽车产业集群。下图示意蜀山区新桥智能电动汽车产业园位置。



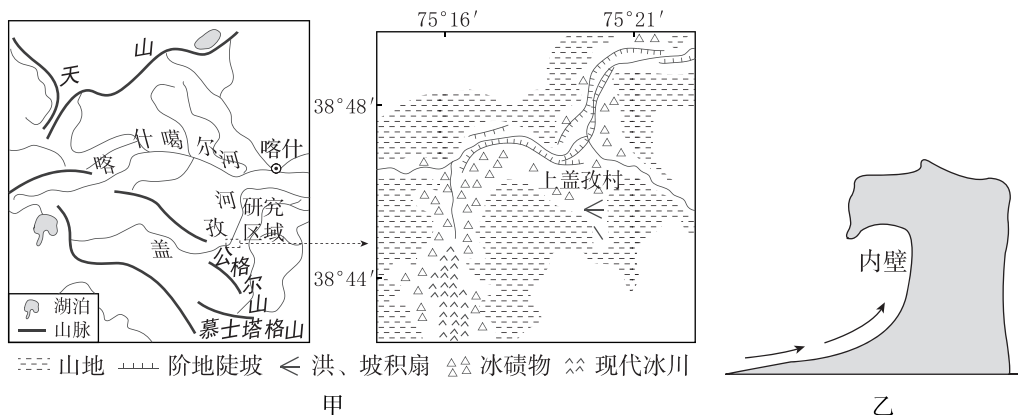
(1)分析蜀山区新桥智能电动汽车产业园的位置优势。(6分)

(2)从培育“新质生产力”角度,请为该产业园发展智能电动汽车提出合理建议。(6分)

## 大题冲关 2

(20分)[2024·河北秦皇岛二模] 阅读图文信息,完成下列各题。

盖孜河谷曾是一条冰川通道,上盖孜村海拔较高,流经的盖孜河河面落差较大,整个村庄处在一个冰碛平台上。冰碛平台上分布着许多大块的花岗岩漂砾(冰川所挟带的巨大石头),漂砾上存在千姿百态的风化穴,其中边墙型风化穴最为常见,风化穴面向河谷。图甲示意东帕米尔高原主要山脉分布及上盖孜村地理位置,图乙示意边墙型风化穴。



(1)指出影响花岗岩漂砾风化穴形成的主要因素。(4分)

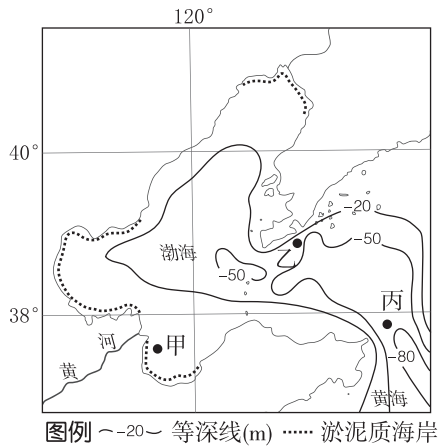
(2)分析该地边墙型风化穴只出现在面向河谷一侧的原因。(8分)

(3)推测地质历史上盖孜河经过上盖孜村时流向的变化,并说明理由。(8分)

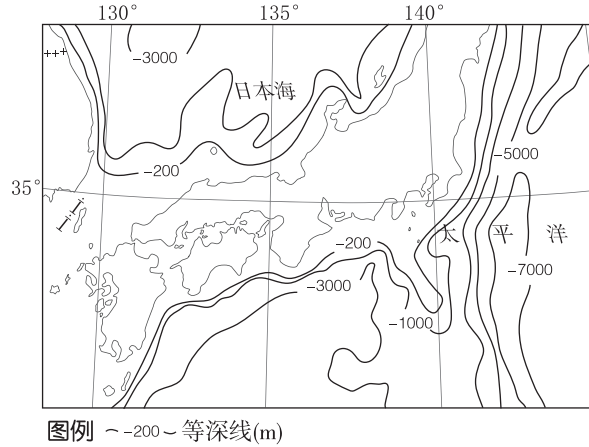
## 大题冲关 3

(22分) 阅读图文材料,完成下列问题。

建筑用海砂是指分布于海岸和近海的、以中砂和粗砂为主、包括部分细砂和砾石的砂质堆积物。分选良好、品质优良的海砂广泛应用于城市建设、公路、铁路和桥梁等混凝土结构建筑。日本在20世纪40年代就已经开始利用海砂配制混凝土,其海砂主要依靠进口,进口量逐年攀升,我国是其主要供应国。近些年来,我国不断扩大海砂的生产规模。图(a)示意渤海、黄海部分海域等深线分布,图(b)示意日本附近海域等深线分布。



(a)



(b)

(1) 渤海海域某处的海砂主要由花岗岩发育而成,描述从花岗岩成岩后到形成海岸海砂的主要地质过程。(8分)

(8分)

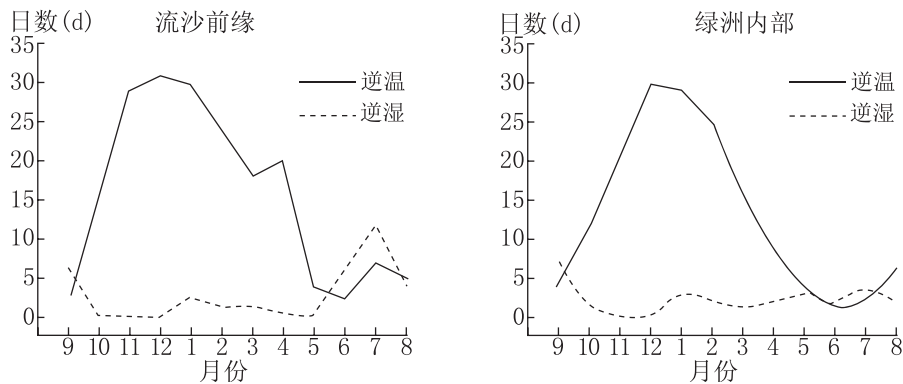
(2) 与乙地相比,说明甲、丙两地海砂开发条件较差的主要原因。(6分)

(3) 分析海域辽阔的日本从我国大量进口海砂的原因。(8分)

## 大题冲关 4

(16分)[2024·河北石家庄二模] 阅读图文材料,完成下列要求。

策勒县位于塔克拉玛干沙漠的最南缘,和昆仑山相邻,整体地势南高北低,气候极端干旱,常受风沙侵袭。某科研小组在策勒县流沙前缘与绿洲内部设置了气象站,统计了2010年9月—2011年8月近地面0.5米和2米高处的气温和大气相对湿度。研究发现,流沙前缘与绿洲内部存在显著的逆温(气温随高度增加而升高)、逆湿(大气相对湿度随高度升高而降低)现象,且沙漠区逆湿多发生在白天,逆温多发生在夜间。下图为策勒县流沙前缘与绿洲内部逆温、逆湿日数对比图。



(1)指出策勒县流沙前缘与绿洲内部逆温、逆湿特征的主要差异。(4分)

(2)分析策勒县冬季更易发生逆温现象的原因。(6分)

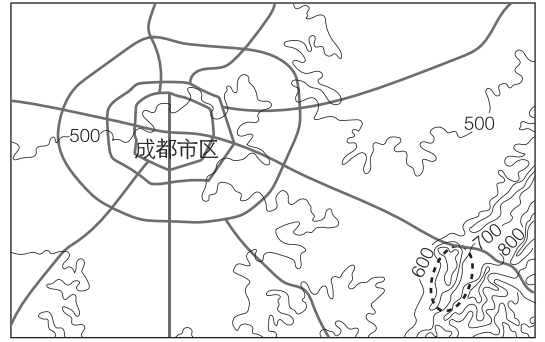
(3)分析沙漠区逆湿多发生在白天、逆温多发生在夜间的原因。(6分)

## 大题冲关 5

(20分)[2024·广东南粤名校联考] 阅读图文材料,完成下列要求。

山地速降运动是以山地自行车为工具,依靠全方位的综合身体素养,在复杂多变的全地形路况下进行锻炼或比赛的户外极限运动。仰天窝地处成都近郊,早期由山地速降爱好者自发进行场地简易改造,并在爱好者群体内部举办比赛,逐渐成为成都山地速降运动首选地。目前仰天窝仍未配备登山缆车,运动员需要骑行或推行上山。右图示意成都仰天窝的位置。

(1)分析仰天窝成为成都山地速降运动首选地的自然条件。(6分)



图例 — 主干道 ~500~ 等高线(m) - - - 仰天窝范围

(2)简述夏季仰天窝开展山地速降的风险。(8分)

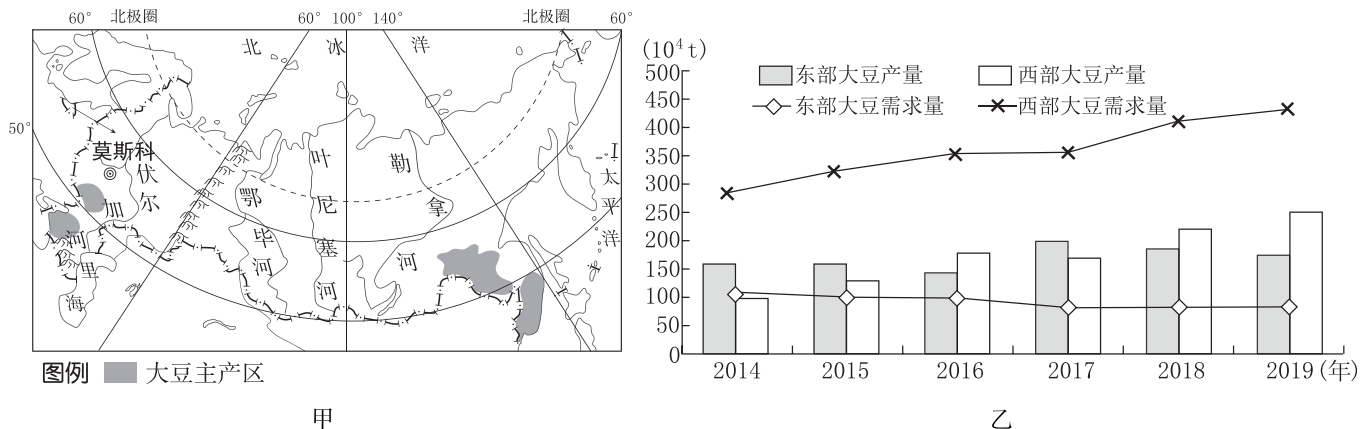
(3)说明仰天窝未配备登山缆车的原因。(6分)



## 大题冲关 6

(16分)[2024·湖北襄阳五中模拟] 阅读图文材料,完成下列要求。

大豆广泛用于榨油、饲料生产和食品加工,美洲是大豆传统的主产区 and 出口地。俄罗斯大豆种植依靠独特的自然条件,采用了粗放式种植的管理方式。近年来,俄罗斯大豆种植面积和产量大幅度增长,同时,进口和出口量也在持续增加,形成西部进口、东部出口的“西进东出”国际贸易格局。我国是大豆的生产和消费大国,目前仍需大量进口,为保证粮食安全,除进口美洲大豆外,向俄罗斯进口大豆的数量也在不断增加。图甲示意俄罗斯大豆主产区分布,图乙示意2014—2019年俄罗斯东部地区和西部地区大豆产量和大豆需求量。



(1)描述俄罗斯大豆生产区分布特点,并说明俄罗斯大豆采用粗放式种植管理的合理性。(10分)

(2)分析俄罗斯大豆形成“西进东出”国际贸易格局的原因。(6分)